

⑩ 日本国特許庁(J P)

⑪ 特許出願公表

⑫ 公表特許公報(A)

平5-500894

⑬ 公表 平成5年(1993)2月18日

⑭ Int. Cl. <sup>9</sup>

識別記号

庁内整理番号

審査請求 未請求

予備審査請求 未請求

部門(区分) 7(3)

H 03 L 7/197  
H 03 M 3/00

8836-5 J  
9182-5 J

H 03 L 7/18

A

(全 11 頁)

⑮ 発明の名称 多段蓄積器シグマデルタ分数Nの合成

⑯ 特 願 平3-508847

⑰ 出 願 平3(1991)4月22日

⑱ 翻訳文提出日 平3(1991)12月24日

⑲ 国際出願 PCT/US91/02742

⑳ 国際公開番号 WO91/17604

㉑ 国際公開日 平3(1991)11月14日

優先権主張 ㉒ 1990年4月30日 ㉓ 米国(US) ㉔ 516,993

⑳ 発 明 者 ヒエトラ・アレキサンダー ダ アメリカ合衆国イリノイ州 60067、バラタイン、パノラマ・ドラ  
ブリュ イブ 820 #1シー

㉑ 発 明 者 ラベ・デュアン シー アメリカ合衆国イリノイ州 60008、ローリング・メドウズ、ミル  
ストーン 2702

㉒ 出 願 人 モトローラ・インコーポレーテ アメリカ合衆国イリノイ州 60196、シヤンバーグ、イースト・ア  
ッド ルゴンクイン・ロード 1303

㉓ 代 理 人 弁理士 池内 義明

㉔ 指 定 国 A T(広域特許), A U, B E(広域特許), B R, C A, C H(広域特許), D E(広域特許), D K(広域特許), E S  
(広域特許), F R(広域特許), G B(広域特許), G R(広域特許), I T(広域特許), J P, K R, L U(広域特  
許), N L(広域特許), S E(広域特許)

請求の範囲

1. 電圧制御発振器の出力信号周波数をループ分周器によって分割し、該ループ分周器は制御入力によって制御される可変除数を有しフィードバック信号を生成して基準信号と比較し、前記電圧制御発振器の周波数制御をする分数Nのシンセサイザであって、

第一の複数のビットとして表現される第一のデジタル数を受け入れるための手段、

シグマデルタ変調器手段を含み、前記第一のデジタル数の第一及び第二の複分値を計算しかつ結合するための手段、

前記計算しかつ結合するための手段から最上位ビット(MSB)出力の予め決められた数を選択して前記ループ分周器の除数制御入力に結合するための手段、

を具備する分数Nのシンセサイザ。

2. 更に、前記第一のデジタル数の少なくとも1ビットを時間的に変えることによって出力信号を変調するための手段を具備する請求の範囲第1項に記載の分数Nのシンセサイザ。

3. 更に、前記シグマデルタ変調器手段が少なくとも2個の蓄積器を具備する請求の範囲第1項に記載の分数Nのシンセサイザ。

4. 前記可変除数が、整数及び分母によって除算された分子の商の和によって表現される平均値を有し、前記可変

除数の分母が、該分母によって除算された基準信号周波数の商の周波数が出力信号におけるスプリアス信号を除去する分数Nのシンセサイザの高域通過特性の曲がり角の周波数よりもずっと低くなるように大きな値である、請求の範囲第3項に記載の分数Nのシンセサイザ。

5. 更に、前記少なくとも2個の蓄積器が更に、多数ビットとして表現される第二のデジタル数を受け入れるための手段を具備する、前記請求の範囲第3項に記載の分数Nのシンセサイザ。

6. 電圧制御発振器の出力信号周波数をループ分周器によって分割し、該ループ分周器は制御入力によって制御される可変除数を有しフィードバック信号を生成して基準信号と比較し、前記電圧制御発振器の周波数制御をする分数Nのシンセサイザであって、

第一の複数のビットとして表現される第一のデジタル数を受け入れるための手段、

前記第一のデジタル数と、第二の多数ビットを有する第二のデジタル数の最上位ビット(MSB)の予め決められた数の第一の複分を計算し、第三の多数ビットを具備する第三のデジタル数を作り出すための手段、

前記第三のデジタル数の最下位ビット(LSB)の予め決められた数の第二複分、及び前記第三のデジタル数の最上位ビット(MSB)の予め決められた数と前記第二のデジタル数の最上位ビット(MSB)の予め決められた数と

の合計を計算し、前記第二のデジタル数を生成するための手段、

前記第二のデジタル数の最上位ビット (MSB) の予め決められた数を選択し、少なくとも前記ループ分周器の除数制御入力へ結合するための手段、

を具備する分数  $N$  のシンセサイザ。

7. 更に、前記第一のデジタル数の少なくとも1ビットを時間的に変えることによって出力信号を変調するための手段を具備する請求の範囲第6項に記載の分数  $N$  のシンセサイザ。

8. 更に、前記第一の積分を計算するための手段及び前記第二の積分を計算するための手段の内の少なくとも一つの内部の内容から前記デジタル数を減じるための手段を含む残留量子化雑音修正信号を発生するための手段を具備する前記請求の範囲第6項に記載の分数  $N$  のシンセサイザ。

9. 可変除数が、整数と分母によって除算される分子の商との和によって表現される平均値を有し、かつ該分母によって除算される基準信号周波数の商の周波数が、出力信号におけるスプリアス信号を除去する分数  $N$  のシンセサイザの高域通過特性の曲がり角の周波数よりもずっと低くなるように、前記可変除数の分母が大きな値である、請求の範囲第6項に記載の分数  $N$  のシンセサイザ。

10. 分数  $N$  のシンセサイザを用いて電圧制御発振器の出力信号から引き出される動作周波数信号を発生し、該分

数  $N$  のシンセサイザは電圧制御発振器の出力信号周波数をループ分周器によって分割し、該ループ分周器は、制御入力によって制御される可変除数を有してフィードバック信号を発生し、基準信号と比較して電圧制御発振器の周波数制御をする無線送受信機であって、

動作周波数信号を送信するための手段、

前記動作周波数信号を一部分決めるために第一の複数のビットとして表現される第一のデジタル数を受け入れるための手段、

シグマデルタ変調器手段を含み、前記第一のデジタル数の第一及び第二の積分を計算しかつ合わせるための手段、

前記ループ分周器の除数制御入力へ結合するために前記計算しかつ合わせるための手段から最上位ビット (MSB) 出力の予め決められた数を選択するための手段、

を具備する無線送受信機。

11. 更に、前記第一のデジタル数の少なくとも1ビットを時間的に変えることによって動作周波数信号を変調するための手段を具備する請求の範囲第10項に記載の無線送受信機。

12. 電圧制御発振器の出力信号周波数をループ分周器によって分割し、該ループ分周器は制御入力によって制御される可変除数を有し、フィードバック信号を生成して基準信号と比較し、前記電圧制御発振器の周波数制御をする分数  $N$  のシンセサイザを用いた信号シンセシス方法であ

て、

前記第1の複数のビットとして表現される第1のデジタル数を受け入れるための段階、

前記第1のデジタル数と、第2の多数ビットを有する第二のデジタル数の最上位ビット (MSB) の予め決められた数の第一の積分を計算し、第三の多数ビットを具備する第三のデジタル数を作り出すための段階、

前記第三のデジタル数の最下位ビット (LSB) の予め決められた数の第二積分、及び前記第三のデジタル数の最上位ビット (MSB) の予め決められた数と前記第二のデジタル数の最上位ビット (MSB) の予め決められた数との合計を計算し、前記第二のデジタル数を生成するための段階、

前記第二のデジタル数の最上位ビット (MSB) の予め決められた数を選択し、少なくとも前記ループ分周器の除数制御入力へ結合するための段階、

を具備する方法。

13. 更に、前記第一のデジタル数の少なくとも1ビットを時間的に変えることによって該出力信号を変調するという段階を具備する請求の範囲第12項に記載の方法。

14. 残留量子化雑音の修正信号を発生するという段階を更に具備する請求の範囲第12項に記載の方法。

15. 更に、可変除数が、整数と分母によって除算される分子の商の和によって表現される平均値を有するように、

可変除数を発生するという段階を具備する請求の範囲第12項に記載の方法。

16. 更に、前記可変除数の分母によって前記基準信号周波数を分割し、前記分母は、分数  $N$  のシンセサイザの高域通過特性の曲がり角の周波数よりも商の周波数の高さがずっと低くなるように大きな値を有して出力信号におけるスプリアス信号を除去する段階、

前記第一の積分を計算する段階及び前記第二の積分を計算するための段階の少なくとも一つにおいて多数ビットとして表現される第二のデジタル数の少なくとも1ビットのために予め決められた状態を選択することによって、多数の分子の値のために前記分母を維持する段階、

を具備する請求の範囲第15項に記載の方法。

## 多段蓄積器シグマデルタ分数Nの合成

## 発明の背景

本発明は一般的には周波数シンセサイザに関し、より特定のには無線周波数の送受信機による使用のための複数の信号の内の一つを発生するために無線電話通信装置に使用することができる連続したシグマデルタ変調器型の蓄積器（アキュムレータ）を具備する分数Nの周波数シンセサイザに関する。

位相ロックループ（PLL）周波数合成は、周波数可変電圧制御発振器（VCO）から多くの関係した信号の内の一つを発生するための良く知られた技術である。単一ループPLLにおいて、VCOからの出力信号は、周波数分割された信号を位相検出器に提供するために選択された整数の数字によって分周するプログラム可能な周波数分割器に結合される。位相検出器は周波数分割された信号を、時間経過及び環境変化に対する周波数の安定のためにしばしば選択されるもう一つの決められた周波数発振器からの基準信号と比較する。周波数分割された信号と基準信号の間のいかなる位相差もループフィルタを通して結合される位相検出器からの出力であり、かつ前記位相差はVCOからの出力信号を、周波数分割された信号と基準信号の間の位相

準周波数の使用を許し、かつ低周波スプリアス出力の低減のおかげでより広くなった帯域を使用するための設計を許す。帯域を広くすると、ロック時間が早くなり、基準入力または分数の除算式に印加される広帯域変調が可能となる。

残念ながら本システムは完全ではなくて、チャンネル間隔と等しい周波数においてスプリアス信号出力を発生する。望まれる信号出力の純粋さは、分数でないシステムよりも良いが、しかしそれ自身では高品質のシステムにとって今なお不十分であるかもしれない。

前記スプリアス出力の影響を最小にするために、そのスプリアス信号を、その周波数において通過することが高価でなくかつ簡単である周波数に広げる2個の蓄積器の分数Nの合成システムが開発された。2個よりも多い蓄積器を具備するシステムを使用することによって、この恩恵は更にずっと広げることができる。

1個の蓄積器の分数Nのシステムの基本構成は第1図のブロック図に示される。VCO 101は、典型的には位相検出器（ $\phi$ ）105への出力を有する完全にプログラム可能な周波数分割器103に結合される出力信号を発生する。制御入力は粗いチャンネル設定と除算の分数部分を提供するデジタル網の出力との和である。位相検出器105は、通常、ループフィルタ109に、次にVCO出力信号を位相ロックするためにVCO 101に印加される信号を生成するために、分割された周波数 $f_v$ の位相を基準発振器1

## 特表平5-500894 (3)

誤差が最小になるように周波数を度化させるやり方でVCOに印加される。プログラム可能な分割器は整数のみで分割するので、出力周波数の段階幅は基準信号周波数に等しくなるように抑制される。

単一ループPLLについては、ループロック時間、出力周波数の段階幅、雑音特性、そしてスプリアス信号発生という相反する要求の間において技術上の妥協をしてはいけない。

単一ループPLLの制限を克服するために、整数以外の数字で有効に分割することができるプログラム可能な周波数分割器が開発された。基準信号周波数の分数である出力周波数の段階幅は得られるが、それは高い基準周波数かつ広いループ帯域を維持している。分数Nの合成についての議論は、米国特許第4,816,774号に見いだすことができる。そこで述べられるように2個の蓄積器が、切り替えに伴って発生するスプリアス信号を具備しないで除数の異なる整数値の間で切り替えるという分数合成の性能を模倣するために使用される。2個の蓄積器の技術は、消去及びループフィルタ除去によって欲しくないスプリアス信号を低減するために働く。

分数Nの周波数シンセサイザのための基準信号周波数は、それゆえにVCO出力周波数の段階幅にプログラム可能な分周器の除数の分母を掛けることによって決められる。分数Nの合成は、実際のチャンネル間隔よりもずっと高い基

07から出力される基準信号の周波数 $f_i$ の位相と比較する。

可変周波数分割器103の除数値の選択は、米国特許第4,758,802号にてZ変換等価で述べられるような以前に知られた実現では通常の加算器113、（比較器115への入力がある与えられた数値を越える時に“キャリーアウト”信号を生成する）比較器115、そして（もしもキャリーアウトが起きるならば）加算器113にデジタル数字表現を印加する前に加算器113と比較器115から出力されるデジタル数値表現から分母を減ずるフィードバック論理117を具備するデジタル網111によって実行される。第二のデジタル数値表現は、分数Nのシンセサイザでは時間に関するオフセット位相（オフセット周波数）の第一の微分とデジタル的に等価な数値であり、それはデジタル網111のもう一つの入力に印加される。デジタル網111の全体効果は微分の位相を積分すること、及びPLLに対して位相オフセットと一次の等価である制御信号を（キャリーアウトのデジタル信号の形式で）印加することである。加算器113は、基準周波数信号 $f_i$ の発生毎に $d\theta/dt$ （分母）を具備する加算器113の過去の内容を合計する。米国特許第4,816,774号に述べられるように、加算器113の出力は数字（周波数分割器103の除数がNと〔分子/分母〕の和として表される時に、除数の望まれる分数の部分の分母）と比較される。加算器

特表平5-500894 (4)

113の内容が分母を越えるならば、キャリア出力は真 (true) にセットされ、かつ加算器の内容は次の基準パルスが起きる前にフィードバック論理117において分母によって減される。

一例として分母が13で、かつ分子が1であると仮定する。毎回13番目の基準パルスの度に加算器113は分母を越え、かつ一つの基準信号f1パルスのために周波数分割器103の除数を1増やすであろうキャリア出力を発生する。これはVCO101出力信号から一つのパルスを取り除き、かくして蓄積されていた位相誤差を360度だけ減らす。これは正規の除算の数字に追加された1/13除算に相当する。

第2図のZ変換図に示されるのは、米国特許第4,758,802号にて明らかにされた内容と一致する1個の蓄積器システムのZ変換等価デジタル網111'である。前記単一蓄積器システムのためのZ変換等式は、

$$DO = (1/Z) DI + Q(1 - 1/Z)$$

Z変換加算器201は、分子(もしオーバーフローが起きるならば分母を減じて)と及び1/Z(遅延)ブロック203、205によって表されるそれ以前の加算器の内容から供給される。比較することは、207で付加された量子化誤差Qを具備するデジタルスライサであると考えられる。

る。)

Mag. (出力データ/入力データ)

$$= 1 / (5 - 4 \cos(P1 + v))^{1/2}$$

$$\text{Mag. (出力データ/Q)} = \{ (2 - 2 \cos(P1 + v)) / (5 - 4 \cos(P1 + v)) \}^{1/2}$$

かくして加算器201へのデータはわずかに低域通過フィルタにかけられ、かつデジタル網111'によって導入される量子化雑音は高域通過フィルタにかけられる。量子化雑音を高域通過フィルタに掛けることは、スプリアスが高域通過の角よりもずっと低い周波数で起きるならば、送受信機のチャンネルとチャンネル間の周波数間隔の周波数において起きるスプリアス信号を低減する効果を有する。高域通過の角よりもずっと低い周波数に低域通過の角の周波数を具備するPLL応答を選択することによって、ほとんど全ての雑音を除去することが可能である。単一の蓄積器システムでは、高域通過のロールオフは20db/decadeである。かくして基準周波数は、十分な雑音抑圧が得られるべきであるならば、高域通過の角を高い周波数に押し上げるために高くなければならない。(さもなければPLLの低域通過は非常に低い周波数でなければならず、かくして広帯域の恩恵を失ってしまう。)

基本的な分数の構造を高域通過フィルタに掛けることを改善するために、2個の蓄積器を使用するシステムのため

加算器207からの出力は加算器201にフィードバックされるデジタル数字であり、かつキャリアアウト信号は上記出力信号とされる。しかしながら、Z変換解析のためには出力とフィードバック信号の間でいかなる違いも必要ではない。

B点において次のように等式を書くことができる。

$$B(z) = B(z)1/z + A(z) \quad \text{または}$$

$$B(z) = A(z) / (1 - 1/z)$$

但し 出力データ = B(z) + Q かつ

$$A(z) = \text{入力データ} - B(z) - Q$$

これを代入してB(z)を求めると、

$$B(z) = \text{入力データ} / (2 - 1/z) - Q / (2 - 1/z)$$

そして出力データを求めると、

$$\begin{aligned} \text{出力データ} &= \text{入力データ} / (2 - 1/z) \\ &+ Q(1 - 1/z) / (2 - 1/z) \end{aligned}$$

前記等式はここで周波数領域に変換することができる(但し“v”は折り畳み周波数に正規化された周波数であ

に分数Nの合成を使用することが知られている。2個の蓄積器を使う分数Nのシンセサイザは、米国特許第4,204,174号に開示されている。また一例は第1図の単一デジタル網111を置き換える第3図のブロック図に示される。

2個の蓄積器システムにおいて、第一の蓄積器301の内容は第二の蓄積器303へのデータ入力になる。第二の蓄積器303は、第一の蓄積器の誤差Q1に加えてそれ自身のZ変換量子化誤差Q2を有する。しかしながら前記誤差の両方共、単一の蓄積器の場合からは低減される。第二の蓄積器303からのキャリア出力は、デジタル論理素子305に印加され、そして論理素子305によって生じる微分の後で、周波数分割器103に印加されるべき有効なキャリアアウト信号を生成するために信号加算器307において第一の蓄積器301のキャリア出力に印加される。かくして2個の蓄積器によって生成される効果は、蓄積器301のキャリア出力の1次位相オフセットと、有効なキャリアアウト信号のために蓄積器303の微分されたキャリア出力の2次位相オフセットを加えることである。

前記2個の蓄積器のリップルシステムのZ変換モデルが第4図のブロック図に示される。DO1は第一の蓄積器のデータ出力である。前記計算から、

$$DO1 = \text{出力データ} = \text{入力データ} / (2 - 1/z)$$

$$+Q1(1-1/z)/(2-1/z)$$

Di2は、(第二の蓄積器の入力となる)第一の蓄積器の蓄積器内容である。

$$Di2 = (\text{入力データ} - DO1) / (1 - 1/z)$$

DO2に対する上記と同様な等式は、

$$DO2 = Di2 / (2 - 1/z) + Q2(1 - 1/z) / (2 - 1/z)$$

Di2のための表現を代入し、次にDO1のための表現を代入すると、

$$DO2 = \text{入力データ} / \{(2 - 1/z)(1 - 1/z)\} + Q2(1 - 1/z) / (2 - 1/z) - \text{入力データ} / \{(2 - 1/z)^2(1 - 1/z)\} - Q1 / (2 - 1/z)^2$$

但し、DO3 = DO2(1 - 1/z) かつ

$$\text{出力データ} = DO1 + DO3$$

かくして代数を解くと、

蓄積器の個数は理論的にはいかなる望まれる台数までも増やすことができる。その結果、量子化雑音に対する高域通過特性の応答は、蓄積器の個数を20db/decade倍したものになる。蓄積器(複数)は米国特許第4,609,881号に明らかにされるような「パスカルの三角法」として知られているものに「再結合」される。一般的に高次の蓄積器は(1 - 1/z)の(n-1)乗と再結合される。

1985年3月発行のIEEE "Transactions on Communications" Vol. Com. 33 No. 3 の249頁から258頁に記載のJames C. Candyにより開示された論文「シグマデルタ変調における二重積分の使用」において、シグマデルタ変調器として知られている機能がアナログ-デジタル(A/D)変換器における有効な積分機能であると示された。シグマデルタ変調器は今では多くの近代的なA/D変換器の基礎を形成している。前記シグマデルタ変調器のほとんどは、第5図のブロック図に図示されるようなアナログシステムとして実現される積分器について1次または2次である。このシステムの出力は典型的には、アナログ入力レベルに対応して望まれるデジタル出力に到達するためにデジタルフィルタを通過する。デジタル数字全体が出力されかつフィードバックされ、かくして開示されたA/D変換器シグマデルタ変調器を分数Nのシンセサ

## 特表平5-500894 (6)

$$\text{出力データ} = \text{入力データ} \{(3 - 2 \cdot 1/z) / (2 - 1/z)^2\} + Q1 \{(1 - 1/z)^2 / (2 - 1/z)^2\} + Q2 \{(1 - 1/z)^2 / (2 - 1/z)\}$$

前記表現は次に周波数領域に変換されて(繰り返すが、"v"は折り畳み周波数に正規化された周波数である)、

$$\begin{aligned} \text{Mag. (出力データ/入力データ)} \\ = (13 - 12 \cos(\pi v))^{1/2} / (5 - 4 \cos(\pi v)) \end{aligned}$$

$$\begin{aligned} \text{Mag. (出力データ/Q1)} \\ = (2 - 2 \cos(\pi v)) / (5 - 4 \cos(\pi v)) \end{aligned}$$

$$\begin{aligned} \text{Mag. (出力データ/Q2)} \\ = (2 - 2 \cos(\pi v)) / (5 - 4 \cos(\pi v))^{1/2} \end{aligned}$$

この場合、高域通過の角は1個の蓄積器の場合と大体同じ周波数に発生するが、しかし量子化雑音に対する高域通過特性の周波数応答は40db/decadeである。このことはPLLに、望まれる雑音抑制を今なお維持しながら1個の蓄積器の場合よりも広い帯域を持たせる、つまり分数のシステムがより低い周波数において作動することを許す。

イザにとって適切でないものになることに気をつけるべきである。

しかしながら、前記シグマデルタ変調器が(第6図に示されるような)標準化されたデータ実現法でモデル化されたとするならば、その結果Z変換等式は次のようになる。

$$DO = (1/z) DI + Q(1 - 1/z)$$

この等式はデータ出力が1クロック期間プラス雑音について作動する1次の高域通過デジタルフィルタを具備する雑音期間、遅延したデータであることを示す。本等式は分数Nの合成のための単一蓄積器の等式と著しく似ていて、かつ第6図に示されるようなZ変換図になる。

Candyはまた第7図に示されるようなZ変換図を有し、DO = (1/z) DI + Q(1 - 1/z) という伝達機能を有する2次のシグマデルタ変調器型A/D変換器を開示している。この2次の実現はまた、全部のデジタル数字が出力されかつフィードバックされるので、分数Nの合成のためには適切ではない。

### 発明の概要

従って、本発明の1つの目的は、シグマデルタ変調器機能を分数Nのシンセサイザにおいて有利に使用することである。

本発明のもう1つの目的は周波数オフセットの小さな増加分を分数Nのシンセサイザに導入することである。

上述の目的及び他の目的は、第一の複数のビットとして現れるデジタル数を受け入れるデジタル網を包含する本発明の分数Nのシンセサイザにおいて実現される。上記デジタル数として第一及び第二の積分値が計算されて結合され、また、出力の上位ビット(MSB)の内の予め決められた数字が選択され、ループ分周器の除数制御入力に結合される。

#### 図面の簡単な説明

第1図は1次の分数Nのシンセサイザのブロック図である。

第2図は第1図のデジタル網に等価なZ変換図である。

第3図は2次の分数Nのシンセサイザのブロック図である。

第4図は第3図のデジタル網に等価なZ変換図である。

第5図はD/A変換器において有効である通常の1次のシグマデルタ変調器のブロック図である。

第6図は第5図に等価なZ変換図である。

第7図はD/A変換器において有効な2次のシグマデルタ変調器のためのZ変換図である。

第8図は本発明を使用することができる無線送受信機のブロック図である。

めに使用されてきた。そのような構成において、デジタルデータは、対照表(ルックアップテーブル)において形成された適切に形成されたIパルスとQパルスに変換される。次に、IチャンネルとQチャンネルはオフセット周波数に変換するために一組の直交駆動のミキサを通過する。2個のミキサの出力は次にオフセット出力周波数で混成のGMSK被変調信号を形成するために結合される。次に、このオフセット出力周波数は次に望まれる送信器出力周波数に混合される。

急激な周波数変化、変調、そして低スプリアス信号及び雑音レベルを達成するために、変調された多段蓄積器(マルチアキュムレータ)シグマデルタ分数Nシンセサイザが本発明では使用される。変調に対して、シンセサイザは送信されるべきデータストリームを分数Nのシンセサイザのための周波数オフセットに変換するために対照表(ルックアップテーブル)を使用する。シンセサイザのループ分周は、GMSK被変調信号のために要求される瞬間的な周波数オフセットに従うために入力データストリームに従って調整される。この調整はオフセット周波数かまたは直接に主要な周波数で行える。

分数Nのシンセサイザ構成は、スプリアス信号を除去し、離散スプリアス信号を低減するためにD/Aの補正を発生し、かつPLLに対して直接のデジタル変調を発生するために、大きな蓄積器(複数)上で作動する。リップルかま

第9図は第8図の送受信機用の分数Nのシンセサイザのブロック図であって、本発明を使用するものである。

第10図は第9図のシンセサイザ用デジタル網のブロック図であって、本発明を使用するものである。

第11図は第10図のデジタル網のための2次のリップル蓄積器のZ変換図である。

第12図は第9図のシンセサイザにおいて使用することができるデジタル網のための2次のラッチされた蓄積器のZ変換図である。

#### 好ましい実施例の詳細な説明

本発明は、多段蓄積器(マルチアキュムレータ)シグマデルタ分数Nのシンセサイザについてである。ある独自のシグマデルタ構成におけるリップルまたはラッチされた分数Nの分周器制御回路を配置することによって、標準の分数Nシンセサイザの性能上の利点を実現することが可能である。

デジタル無線電話システムにおいて有効であるようなデジタル無線送受信機は、本発明を有利に使用することができる。GSM汎ヨーロッパデジタル無線電話システムは周波数の急激な変化ができる無線装置を必要とし、デジタルデータ及びデジタル化された音声の送信のためにBT=0.3を具備するGMSK変調を使用する。典型的にはI-Q変調器が、無線システム上でデジタルデータを送信するた

たはラッチされたかはいずれかの蓄積器も、発明の範囲に影響せずに本発明において使用することができる。

本発明を使用することができる送受信機は第8図のブロック図に示される。基準発振器801は、時間の経過や環境の過酷さに対して比較的一定の周波数を維持し、周波数シンセサイザ803に印加される基準信号f<sub>r</sub>を発生する。シンセサイザの出力は、局部発振器と変調された送信信号をそれぞれ生成するために、受信機805と送信機807の両方によって使用される。動作周波数のチャンネルのような送受信機のコントロールオーバー機能は、制御論理809の機能によって提供される。

好ましい実施例におけるシンセサイザ803は、第9図に示される一般的な構成を有する分数Nのシンセサイザを具備する。本発明によれば、デジタル網900は分数Nのシンセサイザのための変形多次元シグマデルタ変調器の形式で作動する。従来のZ変換等式は同じ形式であることが示されていたので、シグマデルタ変調器の出力の内の選択された部分が、ここではPLLシンセサイザ内に含まれる多係数の(または連続してプログラム可能な)プリスケラの制御を駆動するために独特に使用される。これはその結果、分子はデータ入力(DATA IN)として入力される数字で、かつ分母は量子化器が比較する数字である分数Nのシンセサイザになる。

今、第10図を参照すると、大きな数(3,000,0

00)に等しい加算器長Dを有する2次(2個の蓄積器)リップルのシグマデルタ変調器のためのブロック図が示される。第一の蓄積器1001は、27ビット加算器1003に対する4ビットの最下位ビット(LSB)として送受信機の制御論理809から24ビット入力を受け入れ、かつ3ビットのフィードバックビットは3ビットの最上位ビット(MSB)として入力する。加算器1003(27ビット長)からの出力はデータラッチ1007に inputs する。この構成は、デジタル網内の比較のみがその出力において行われ、中間段階においては行われないという点で、分数Nの合成のために従来使用された構成、例えばパスカルの三角形再結合を使用する構成とは違っている。

データラッチ1007からの出力は、蓄積器が入力の分子の数字の積分を発生することを可能にするために加算器1003に結合される。また、加算器1003からの出力は3ビットのMSBと24ビットのLSBに分割され、該24ビットのLSBは第2の蓄積器1011の加算器1009に結合される。3ビットのMSBは3ビット加算器1013においてフィードバック3ビットMSBに加算され、この加算結果は加算器1009に供給される。第二の蓄積器1011からの積分された7ビット出力は、加算器1009の合計が $-2D$ よりも小さいか、 $-D$ よりも小さいか、 $+D$ よりも大きいか、または $+2D$ よりも大きいかのいずれであるかを考慮することによって記号付きの3ビット出

力を創り出す27ビットの加算器(フィードバック論理)1017に結合される。フィードバック論理1017からの3ビットのMSB出力のみがキャリーアウトとして周波数分割器103に結合されることに気が付くことは重要である。3ビットのMSBはまた、フィードバック論理1017から第一の蓄積器1001及び3ビット加算器1013にフィードバックされる。かくして第7図に図示されるようなZ変換モデルを有する2次の変形シグマデルタ変調器は、分数Nのシンセサイザにおいてデジタル網として使用される(2個よりも多い蓄積器を本発明の範囲に影響を与えることなしに使用することができるけれども)。シンセサイザの起こるべき適切な動作のために、シグマデルタ変調器のキャリーアウト項のみが本発明において使用される。

安定度を維持するために、ループ分周器に対するキャリーアウトプット及び量子化の発生における蓄積器からの除去は標準の分数Nとは異なる。この場合、蓄積器の内部内容は $-(L+1) \div D$ と $+(L+1) \div D$ の間の範囲に位置し、但しLは蓄積器の個数であり、Dは分母である。最後の蓄積器の出力が量子化器の値と等しいか、またはそれよりも大きいならば、キャリーが起きる。この出力が量子化器の値の2倍よりも大きいならば、キャリーは2倍になるか、または分割器を2個増やす。これは蓄積器の最高次を通じて繰り返す。このプロセスは、蓄積器が量子化器制

限の負数よりも小さいか、またはそれに等しいならば、逆方向で起きてよい。(また、蓄積器へのフィードバックはキャリー数に量子化器制限を掛けたものである。)この最終結果は、シグマデルタ分数Nのシンセサイザがループ分周器のプログラム可能性において、 $2(L+1)$ の蓄積器長を増加を具備する標準の分数Nと同じ範囲を要求することである。

第10図のデジタル網を使用するシグマデルタ分数Nのシンセサイザは、「リップル」様式で内部の蓄積器1001及び1011を作動する、すなわちいかなる新しいデータも1クロックサイクルで全ての蓄積器を回らなければならない。第10図のシグマデルタ分数Nのシンセサイザのデジタル網のための2次のリップル蓄積器のZ変換図が第11図に示される。該蓄積器はまた、本発明の範囲から逸脱することなしに、ラッチされた蓄積器として作動してもよい。分数Nの合成のための2次のラッチされた蓄積器シグマデルタ変調器は、第12図のZ変換図に示される。

分数Nのシンセサイザのもう一つ別の実施例において使用されるN次のラッチされたシグマデルタ変調器は、N次パスカルの三角形の展開における第一項の大きさを掛けた出力を第一の蓄積器の加算入力にフィードバックし、かつ展開における第二項の大きさを掛けた出力を第二の蓄積器の加算入力にフィードバックする等々によって、N次蓄積

器の加算入力が $(N-1)$ 次の項の大きさを受け取るようになる。

ラッチされないシグマデルタ変調器に対しては上記のように、蓄積器の範囲は $+\text{ノ}-(L+1) \div D$ であり、かつプログラム可能なループ分周器の除数範囲は標準の分数の除算と同じである。

(第9図に示されるような)本発明の多段蓄積器シグマデルタ分数Nのシンセサイザのために、変調情報は分数Nのシンセサイザのデジタル網900に、送受信機の制御論理809からのチャンネル制御の分子24LSBの内の16LSBとして印加される。GSMシステムにおいてデータレートは270.83333kbであり、BT環は0.3である。この結果、変調時にPLLを低歪で通過しなければならない約81kHzの周波数になる。

GMSK信号の実際の周波数オフセット成分は、10Hzから約70kHz迄の範囲に位置する。10Hzよりも小さな段階を合成するために必要であるから、この範囲は蓄積器の長さを決定する。基準周波数26MHzを具備するGSMシステムの好ましい実施例においては、蓄積器長は24ビットであるが、それは最低でも少なくとも22ビットでなければならない。

明らかに、変調のおかげで望まれる瞬間的な周波数オフセットは、ループフィルタのカットオフよりも十分に下である。従ってPLLは変調のために基本周波数にチャネ

ル属性を付加するいずれのスプリアス信号をも減衰させない。しかしながら多段蓄積器システムによって本問題は克服される。

全てのスプリアス出力が、作用の高いレートで多くの蓄積器を使用する結合された効果が分数の過程の量子化雑音の大きな減衰に帰着する非常に低い周波数に移動するように分数化(除算の分数部分の分母の値)を増加することは可能であり、かつ好ましい。かくして大きな分母は、生成されるスプリアス信号がループの高域通過特性の3デシベル曲がり角よりも十分に低くなるように基準発振器の周波数を有効に分割する。多くの蓄積器を使用することは、高域通過フィルタ作用の勾配を増加する。動作レートを増加することは、高域通過フィルタの曲がり角の周波数を高い周波数に移動する。

第9図に本発明の分数Nのシンセサイザのブロック図を再び参照すると、分数Nのデジタル網900の出力はプログラム可能な周波数分割器103の分周制御入力に供給される。デジタル網900が一基準期間の間に除算を1だけ増加する時に、VCO101の一つの出力パルスが周波数分割器103によって有効に取り除かれる。この作用はVCO101の出力周波数において $2\pi$ ラジアン位の相シフトに対応する。次に、該位相シフトは位相検出器105の入力における位相シフトが周波数分割器103の除数によって除算される $2\pi$ ラジアンとなるように周波数分割器1

i は時間成分であり、  
n は周波数成分である。

位相検出器105を通過した後で、この信号は次にループフィルタ109に輸入する。ループフィルタ109の出力はVCO101の制御入力に供給する。VCO101の入力における制御する誤差電圧の大きさは次のように表現され、

$$V_c = \{2\pi K\phi |c(n)| |F(\omega)|\} / NL$$

但し、 $K\phi$ は位相検出器の変換利得であり、

$|F(\omega)|$ はオフセット周波数におけるフィルタ応答の大きさである。

この制御電圧はVCO101に次のようにスプリアス成分を出力させる。

$$f_{spur}(t) = \{2\pi K\phi K_v\} / NL \cdot |F(\omega)| |c(n)| \cos(\omega_n t)$$

但し、 $\omega_n$ はデジタル順序則のスプリアス周波数成分であり、

$K_v$ は可変発振器の変換利得である。

位相ロックループのフィードバック特性は、スプリアス成分が次のようになるように前記式を修正するであろう、

## 特表平5-500894 (8)

03によって分周される。一般的にデジタル網900は、時間と共に変わる分周比を発生する。かくして一般的な場合において、位相検出器105に対する入力は次のように表現することができ、

$$(2\pi / s NL) \cdot c(n)$$

但し、NLは正規のループ分周比

$c(n)$ はオフセット周波数におけるデジタル順序則(シーケンス)のフーリエ成分であり、

$1/s$ は周波数を位相に変換するために導入される。

デジタル順序則のフーリエ成分は次のように計算され、

$$c(n) = 2/N \sum_{i=0}^{N-1} \theta(i) [\cos(2\pi i/N) - j \sin(2\pi i/N)]$$

但し、Nは該順序則の一期間におけるポイントの合計の数であり、

$\theta(i)$ はデジタル順序則の時間波形

$$f_{spur}(t) = \{2\pi K\phi K_v\} / NL \cdot |F(\omega)| |c(n)| \cos(\omega_n t) / [1 + \{K\phi K_v |F(\omega)|\} / \{\omega_n NL\}]$$

小さなスプリアス成分のためには、スプリアスレベルは $\beta$ が上記にて導き出された周波数に対応する位相である場合に、 $\beta/2$ と近似することができる。

$$\beta = \int f_{spur}(t) dt$$

スプリアスレベルはかくして次のように近似することができる。

$$\beta/2 = [\pi K\phi K_v / (NL \omega_n) \cdot |F(\omega)| |c(n)|] / [1 + \{K\phi K_v |F(\omega)|\} / (\omega_n NL)]$$

低周波数に対しては $F(\omega) \rightarrow$ 無限大 かつ $\omega_n \rightarrow 0$  かくして該スプリアスレベルは次のように近似することができる、

$$\beta/2 = 2\pi |c(n)|$$



かくして、全スプリアス成分が小さな値になるように、もしデジタル網900のフーリエ成分が作られるならば、位相ロックループの出力は小さなスプリアス値を含みもするであろう。デジタル網900は量子化雑音に対して高域通過フィルタとして働く。非常に大きな数値分散化を増加することによって、全てのスプリアス信号は分散順序発生器がスプリアスレベルを位相ロックループの雑音制限のレベルより低く減衰する周波数オフセットに位置する。位相ロックループ出力に渡した後に、該スプリアス信号は分散順序発生器により設定されたレベルを今なお維持する。

好ましい実施例では、位相検出器は基準発振器107によって供給された26MHzで作動し、かつ分散化は大きな数(224=16, 777, 216)によって行われる。分散Nのスプリアス信号は、1.54972ヘルツの高調波及び副高調波において生じる。該基準は非常に高い周波数にあるので、分散Nのデジタル網900の高域通過の曲がり角は約6.5MHzに生じる。分散化によって発生したスプリアス信号の減衰はそれゆえに非常に大きい。

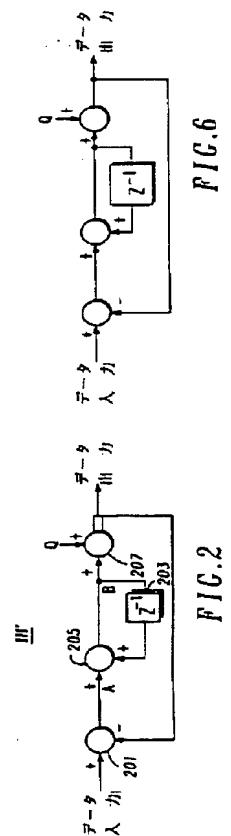
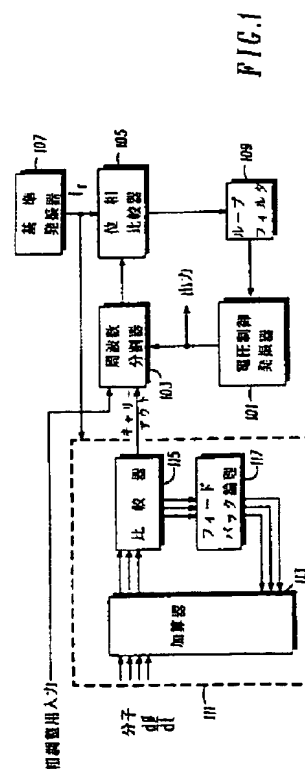
デジタル網900の高域通過特性を使用してスプリアス信号を除去することは、重要な有利な点を有する。第一に、チャンネル間隔が、低歪の変調のために最低要求される周波数段階よりもずっと小さい。第二に、除去される必要がある位相ロックループの雑音制限以上にいかなる離散したスプリアス信号もないので、該ループ帯域が非常に広い。

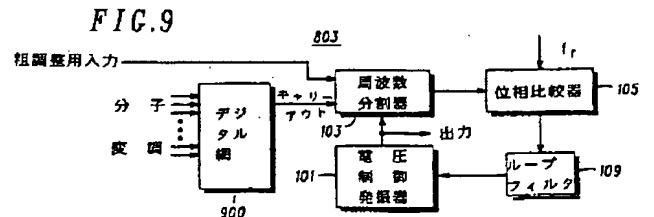
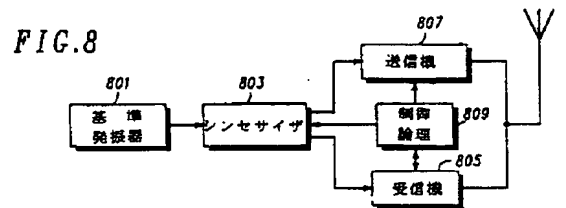
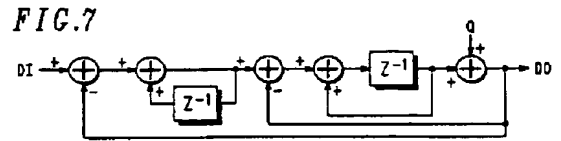
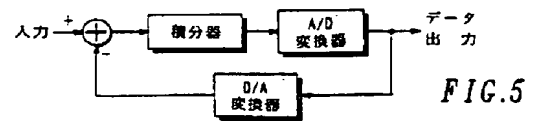
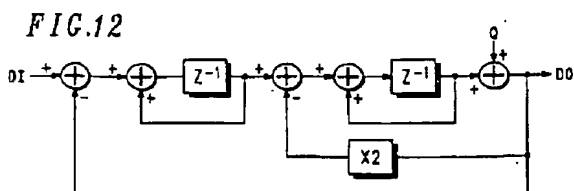
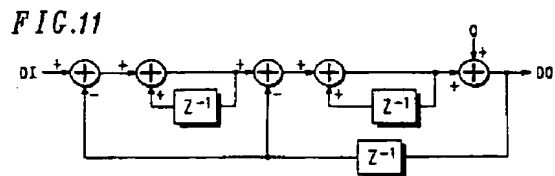
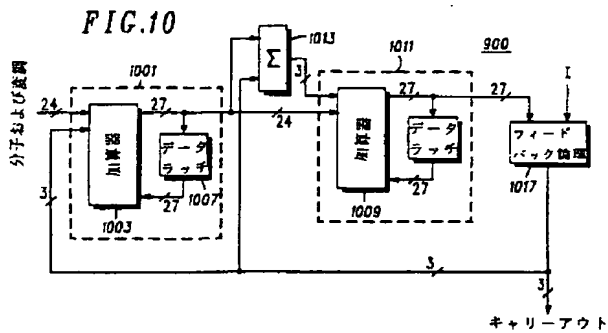
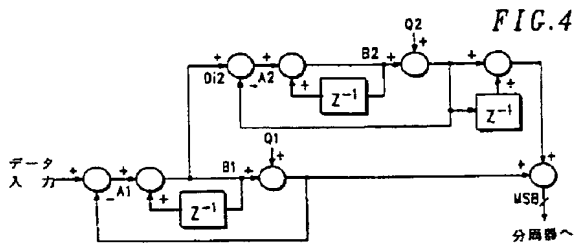
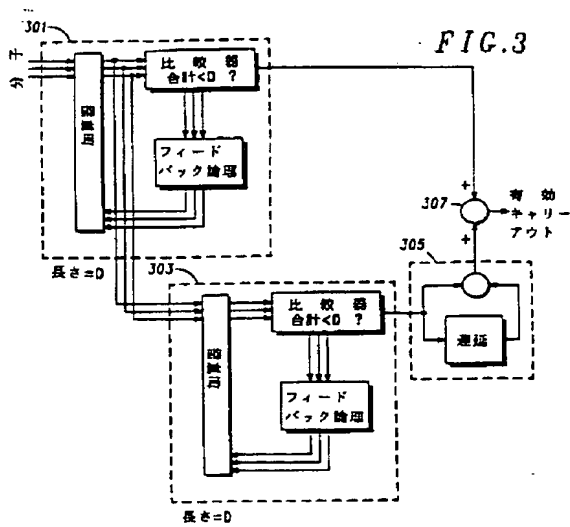
して次に望まれる周波数データを入力することである。この初期化設定は、2個以上の内部蓄積器を含む分散Nの蓄積器に、入力データのほとんどいかなる値のための全蓄積器長に対応するスプリアスパターンを発生させる。多段蓄積器システムでは、一番下のビット(ボトムビット)の初期化オフセットは、オフセットデータ上に乗せられた本質的にランダムなパタンという結果になる。初期化オフセットは一度データがシステムに供給されると除去されるので、この方法は決して周波数誤差を生じない。但し、1個の蓄積器のシステムでは波形が、初期化オフセットに関係なく同じ波形に戻る簡単な鋸歯状波に対応するので、この方法は1個の蓄積器のシステムのためには決して働かないことに注意する。多くの蓄積器のシステムの場合、このオフセットは、非常に長い時間順序を形成するために、デジタル網111において除去される低周波のスペクトル成分と相互に作用する大多数のパターンを作る。

(26MHzである現基準におけるスプリアスを除く。)好ましい実施例において、開放ループ単利得周波数400kHzはGMSK信号に対してピーク値で5度、かつ実効値(RMS)で3.5度の位相誤差を生じる。該位相誤差はピーク値で20度、実効値で5度というGSM仕様を与えられた納得のいく制限である。実効値3.5度は広いループ帯域によって決定されるという点で非常に信頼できる。

いくつかのチャンネルオフセットは分子と分母の共通因数になるという点で非常に高い分散のために設計されたシステムに関して問題が起き得る。該問題は、望まれる分散化よりもずっと小さい有効な分散化という結果になって、そして離散したスプリアス信号が再び現れる。この状態は、蓄積器の下位ビット(LSB)をセットすることによって防ぐことができる。一例として、1チャンネルが1/4という分散のオフセットを要求する上記状態を考える。本状態は、6.5MHzの高調波及び副高調波におけるスプリアス出力という結果になる。もしLSBがセットされるならば、分散化はスプリアス信号を1Hzの領域に戻す4, 194, 305/16, 777, 216になる。この分散化は小さな周波数誤差になるが、大抵の場合この種の誤差は重要ではない。

高い分散化を確実にする第二の方法は、最初に蓄積器がある数またはグループの数で設定(オフセット)して、そ





# 要約書

少なくとも2次のシグマデルタ変換器を用いた分数Nのシンセサイザを開示する。シグマデルタ変換器の出力サンプラ(1011)からの上位ビットをループ分周器(103)の可変除数のためのキャリアアウト制御として用いる。シンセサイザへの変調はシグマデルタ変換器への入力デジタル数の一部として導入され、スプリアス信号出力はループ分周器の除数の分数の分母として大きな数を選択することによって実現される。

Form PCT/IB421 2 (Rev. 07/00) (Page 11-07)